

YDINFYSIIKKA I (FYSN300) – loppukoe 6.5.2011

1. (a) Selvitä lyhyesti alla olevan semiempirisen massakaavan eri termien fysikaalinen tausta.

$$M(Z, A)c^2 = [Z \cdot m(^1H) + N \cdot m_n]c^2 - a_V A + a_S A^{2/3} + a_C \frac{Z(Z-1)}{A^{1/3}} + a_{SYM} \frac{(A-2Z)^2}{A} - \delta$$

- (b) Mitä voit sanoa fissiossa ja fuusiossa vapautuvasta energiasta semiempirisen massakaavan perusteella.

- (c) Täydennä seuraavat merkinnät:

- i) $^{22}\text{Na}(p, \gamma)^{23}\text{Mg}$
- ii) $^{58}\text{Ni} + \text{n} \rightarrow ^{58}\text{Cu} + \text{n}$
- iii) $^{58}\text{Ni} + ^3\text{He} \rightarrow \text{?} + \text{t}$
- iv) $^{116}\text{Cd}(^{40}\text{Ar}, \gamma)^{151}\text{Tb}$

2. (a) Eräässä puunäytteessä on ^{14}C ja ^{12}C atomien lukumäärien suhde kymmenesosa tuoreesta puusta otetun näytteen vastaavasta suhteesta. Laske vanhan näytteen ikä. Isotoopin ^{14}C puoliintumisaika on 5700 vuotta.

- (b) Yksi gramma kobolttia on 10^{12} n/cm²s suuruisessa termisessä neutronivuossa 10 vuorokautta. Kuinka suuri on tuottonopeus ja mikä on ^{60}Co -aktiivisuus säteilytyksen päätyttyä? Termisten neutronien sieppausvaikutusala ^{59}Co :lle on 3700 fm² ja ^{59}Co :n moolimassa 58.933198 g/mol. Avogadron luku $N_A = 6.022045 \cdot 10^{23}$ mol⁻¹. ^{60}Co puoliintumisaika on 5.272 vuotta.

3. (a) Käytössäsi on ^{137}Cs lähde, josta emittoituu 661 keV:n gammasäteilyä. (i) Mikä on lähteen gammasäteilyn todennäköisin vuorovaikutustapa lyijyssä ja piissä? (ii) Hahmottele hyvällä germanium-ilmaisimella mitattu ^{137}Cs :n gammaspektri.

- (b) Oheinen kuva esittää ^{96}Sr -isotoopin β -hajoamista. Sen ja ^{96}Y -tytärytimen perustilan energiaero on 5.371 MeV. Tilojen viritysenergiat on annettu keV-yksiköissä.

- i) Hahmottele ^{96}Sr :n β -spektri.
- ii) Merkitse ^{96}Y :n energiasokaavioon γ -siirtymät ja niiden multipoolisuudet.
- iii) Arvioi 122 keV:n tilan elinikä.

4. (a) Määritä perustilan spin ja pariteetti I^π ytimille ^{102}Zr , ^{15}N , ^{57}Ni .

- (b) Tarkastele ^{17}O ytimen alimpien tilojen $5/2^+$, $1/2^+$ ja $1/2^-$ mahdollista syntyperää kuorimallin avulla.

- (c) ^{228}Th :n ($Z=90$) α -hajoamisessa ^{224}Ra ytimeksi suurin havaittava α -hiukkasen liike-energia on 5.42 MeV ja toiseksi suurin 5.34 MeV.

- i) Miksi ^{228}Th :n α -hajoaminen johtaa ^{224}Ra :n perustilalle?
- ii) Mikä on α -hajoamisen Q-arvo?
- iii) Laske ^{224}Ra :n alimman viritystilan energian.

5. (a) Liitteenä on osa nuklidikarttaa. Hahmottele s-prosessin kulku ^{89}Y -isotoopista ^{103}Rh -isotooppiin.
- (b) Mitkä stabileista isotoopeista Y- ja Rh-isotooppien välissä (mukaan lukien Y- ja Rh-isotoopit) ovat peräisin:
- vain s-prosessista
 - vain r-prosessista
 - p-prosessista?
- (c) Selitä lyhyesti PET - kuvausmenetelmä
- (d) Listaa lyhyesti ydinreaktorin neutronialouteen vaikuttavia tekijöitä. Mainitse listauksen yhteydessä, kuinka kyseinen ilmiö vaikuttaa neutronialouteen.

Taustatietoja:

$$\text{Massoja: } m(n) = 1.008665 \text{ u}$$

$$m(p) = 1.007277 \text{ u}$$

$$m(d) = 2.013553 \text{ u}$$

$$m(\alpha) = 4.001507 \text{ u}$$

$$m(^{235}\text{U}) = 235.043924 \text{ u}$$

$$m(^{236}\text{U}) = 236.045563 \text{ u}$$

$$m(^{238}\text{U}) = 238.050941 \text{ u}$$

$$m(^{239}\text{U}) = 239.054290 \text{ u}$$

$$m(^{91}\text{Kr}) = 90.9232 \text{ u}, m(^A\text{X}) = 141.9165 \text{ u}$$

$$\text{Avogadron luku } N_A = 6.022045 \cdot 10^{23} \text{ mol}^{-1}$$

$$r = r_0 A^{1/3}, \text{ missä } r_0 = 1.2 \text{ fm}$$

Weisskopfin arviot $\{[\lambda] = \text{s}^{-1}, [E] = \text{MeV}\}$:

$$\lambda(E1) = 1.0e14 A^{2/3} E^3$$

$$\lambda(M1) = 5.6e13 E^3$$

$$\lambda(E2) = 7.3e7 A^{4/3} E^5$$

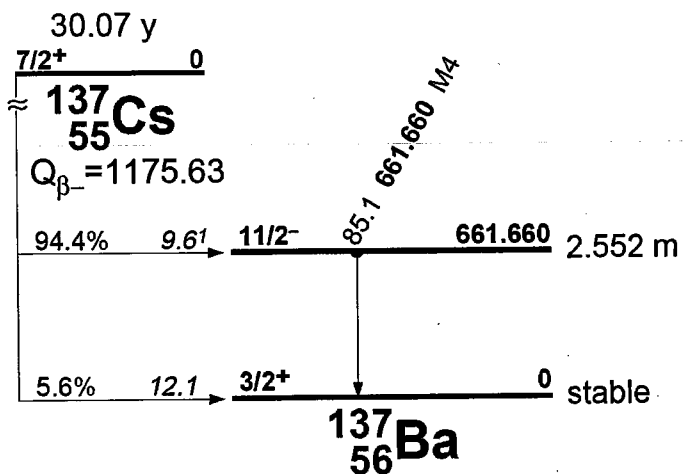
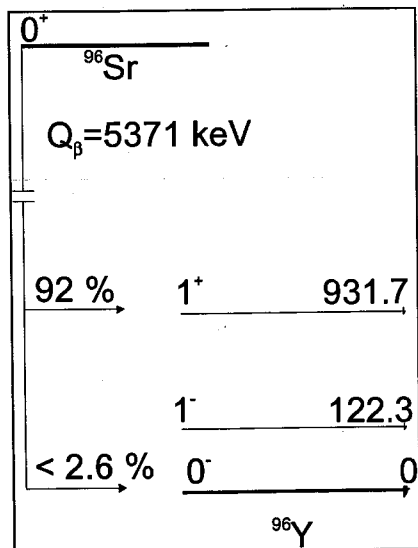
$$\lambda(M2) = 3.5e7 A^{2/3} E^5$$

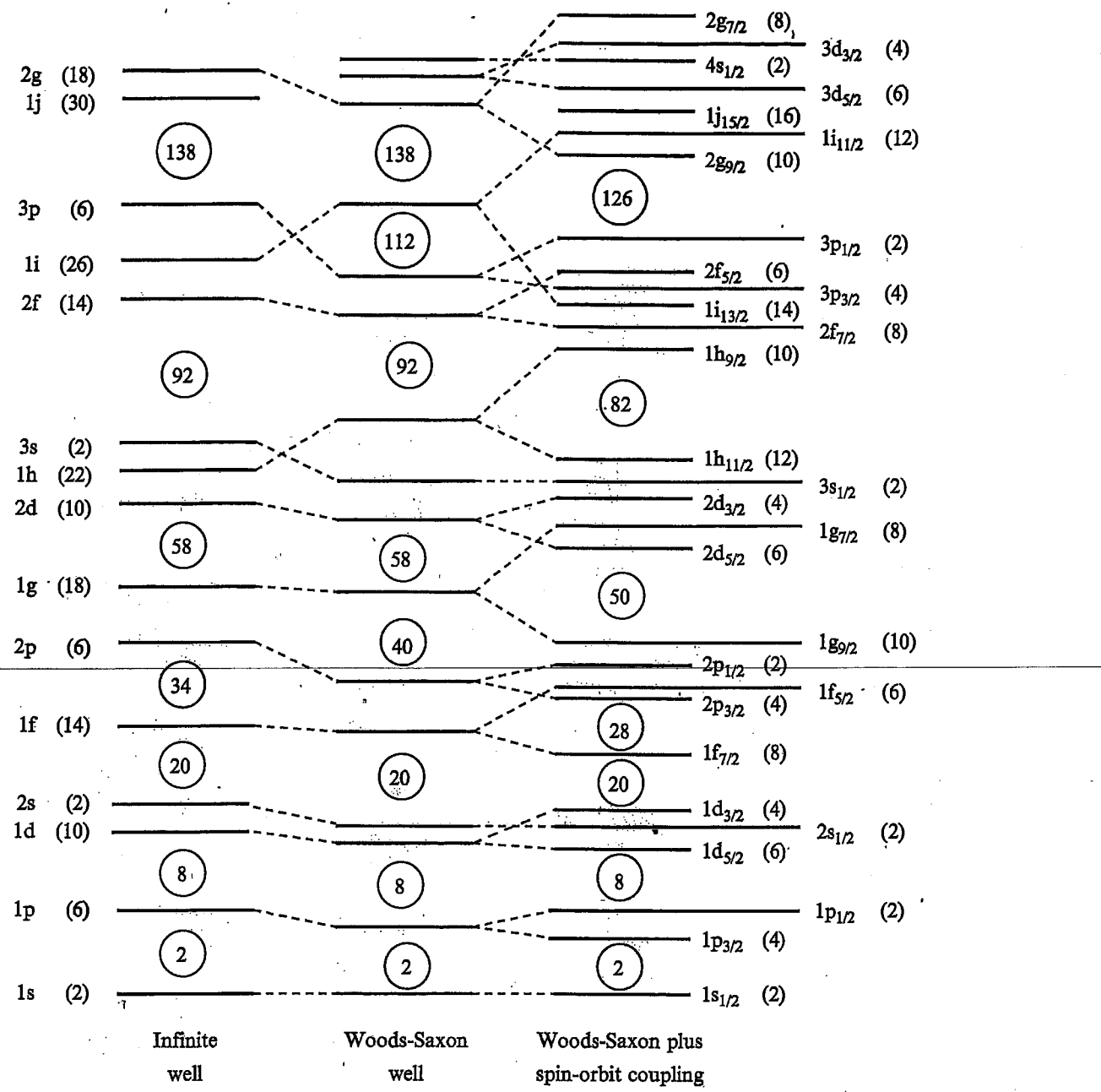
$$\lambda(E3) = 3.4 A^2 E^7$$

$$\lambda(M3) = 16 A^{4/3} E^7$$

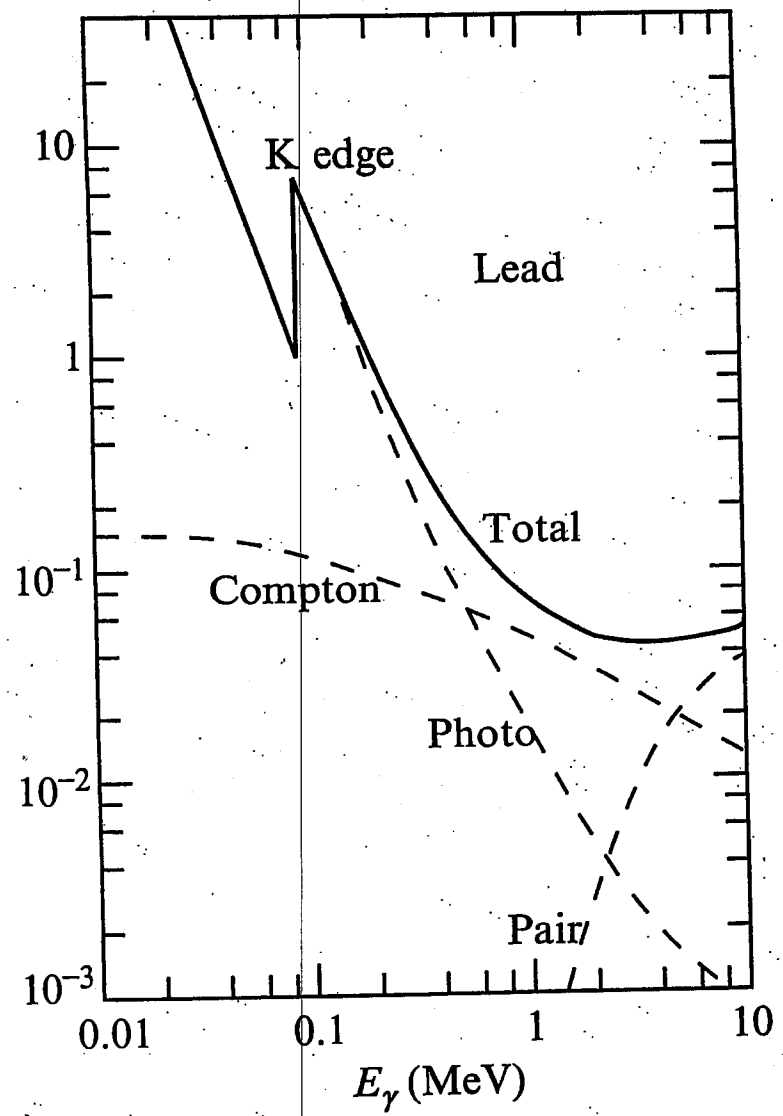
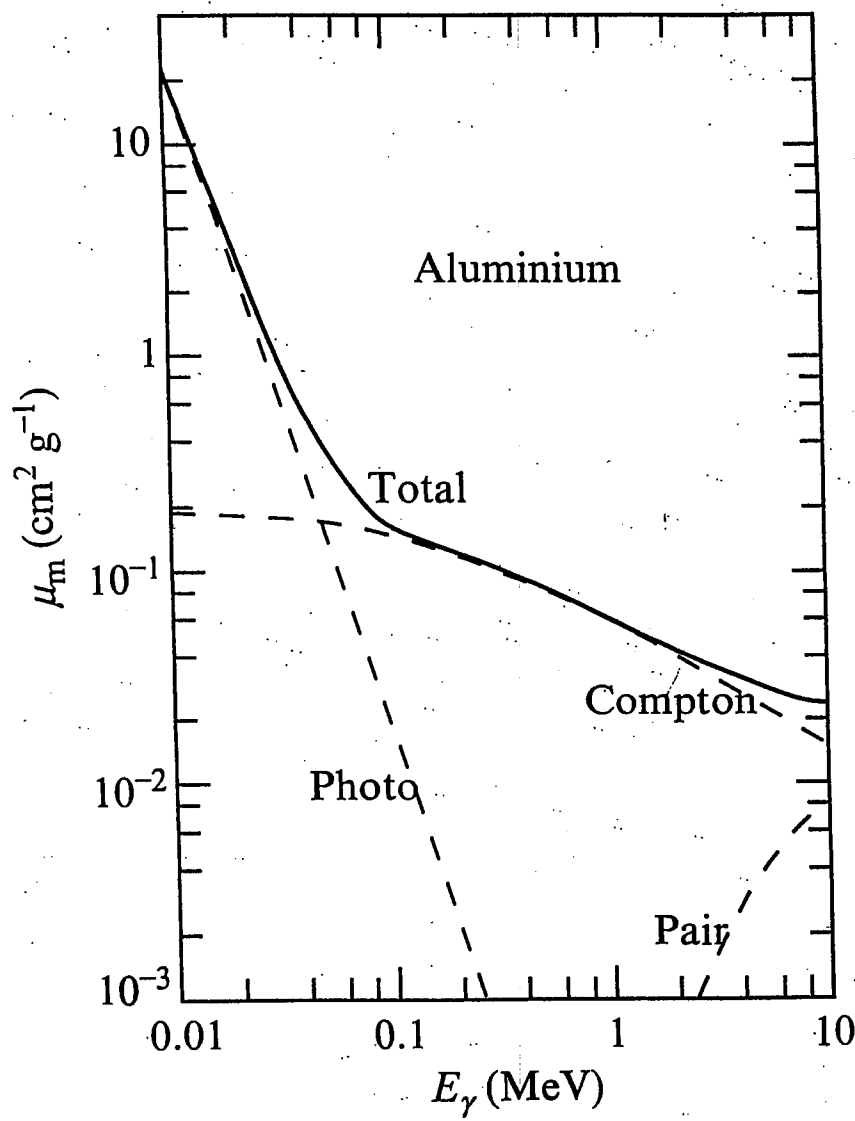
$$\lambda(E4) = 1.1e-5 A^{8/3} E^9$$

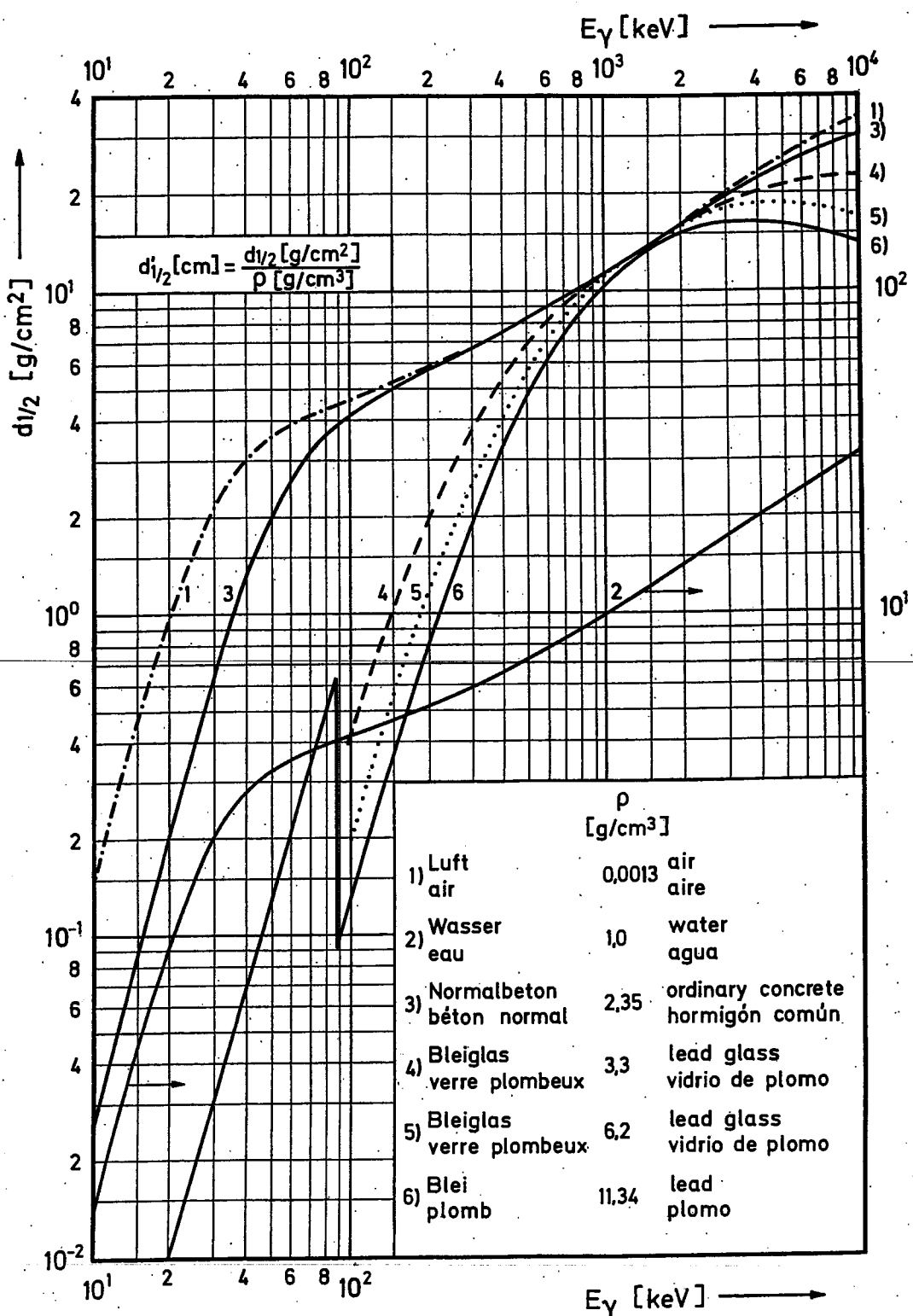
$$\lambda(M4) = 4.5e-6 A^2 E^9$$





Quantity	Symbol, equation	Value	Uncert. (ppm)
speed of light in vacuum ⁴	c	2.997 924 58×10 ¹⁰ cm s ⁻¹	0
Planck constant	h	6.626 075 5(40)×10 ⁻³⁴ erg s	0.60
Planck constant, reduced	$\hbar = h/2\pi$	1.054 572 66(63)×10 ⁻³⁴ erg s = 6.582 122 0(20)×10 ⁻³⁴ MeV s	0.60 0.30
electron charge magnitude	e	4.803 206 8(15)×10 ⁻¹⁰ esu = 1.602 177 33(49)×10 ⁻¹⁹ coulomb	0.30 0.30
conversion constant	$\frac{h}{mc}$	197.327 053(59) MeV fm	0.30
conversion constant	$(\frac{h}{mc})^2$	0.389 379 66(23) GeV ² mbarn	0.59
electron mass	m_e	0.510 999 06(15) MeV/c ² = 9.109 389 7(54)×10 ⁻²⁸ g	0.30, 0.59
proton mass	m_p	938.272 31(28) MeV/c ² = 1.672 623 1(10)×10 ⁻²⁴ g	0.30, 0.59
neutron mass	m_n	939.565 63(28) MeV/c ² = 1.674 928 6(10)×10 ⁻²⁴ g = 1.008 664 904(14) amu	0.30, 0.59 0.014
deuteron mass	m_d	1875.613 39(57) MeV/c ²	0.30
atomic mass unit (amu)	(mass C ¹² atom)/12 = (1 g)/N _A	931.494 32(28) MeV/c ² = 1.660 540 2(10)×10 ⁻²⁴ g	0.30, 0.59
electron charge to mass ratio	e/m_e	5.272 808 6(16)×10 ¹⁷ esu g ⁻¹ = 1.758 819 62(53)×10 ³ coulomb g ⁻¹	0.30 0.30
quantum of magnetic flux	h/e	4.135 669 2(12)×10 ⁻¹⁵ joule s coulomb ⁻¹	0.30
Josephson frequency-voltage ratio	$2e/h$	4.835 976 7(14)×10 ¹⁴ cycles s ⁻¹ V ⁻¹	0.30
Faraday constant	F	9.648 530 9(29)×10 ⁴ coulomb mol ⁻¹	0.30
fine-structure constant	$\alpha = e^2/\hbar c$	1/137.035 989 5(61)	0.045
classical electron radius	$r_e = e^2/m_e c^2$	2.817 940 92(38) fm	0.13
electron Compton wavelength	$\lambda_e = \hbar/m_e c = r_e \alpha^{-1}$	3.861 593 23(35)×10 ⁻¹¹ cm	0.089
proton Compton wavelength	$\lambda_p = \hbar/m_p c$	2.103 089 37(19)×10 ⁻¹⁴ cm	0.089
neutron Compton wavelength	$\lambda_n = \hbar/m_n c$	2.100 194 45(19)×10 ⁻¹⁴ cm	0.089
Bohr radius ($m_{nucleus} = \infty$)	$a_0 = \hbar^2/m_e e^2 = r_e \alpha^{-2}$	0.529 177 249(24)×10 ⁻⁸ cm	0.045
Rydberg energy	$hcR_\infty = m_e e^4/2\hbar^2 = m_e c^2 \alpha^2/2$	13.605 698 1(40) eV	0.30
Thomson cross section	$\sigma_T = 8\pi r_e^2/3$	0.665 246 16(18) barn	0.27
Bohr magneton	$\mu_B = e\hbar/2m_e c$	5.788 382 63(52)×10 ⁻¹⁵ MeV gauss ⁻¹	0.089
nuclear magneton	$\mu_N = e\hbar/2m_p c$	3.152 451 66(28)×10 ⁻¹⁸ MeV gauss ⁻¹	0.089
electron cyclotron frequency/field	$\omega_{cycl}^E/B = e/m_e c$	1.758 819 62(53)×10 ⁷ radian s ⁻¹ gauss ⁻¹	0.30
proton cyclotron frequency/field	$\omega_{cycl}^B/B = e/m_p c$	9.578 830 9(29)×10 ³ radian s ⁻¹ gauss ⁻¹	0.30
gravitational constant	G _N	6.672 59(85)×10 ⁻⁸ cm ³ g ⁻¹ s ⁻²	128
grav. acceleration, sea level, 45° lat.	g	980.665 cm s ⁻²	0
Fermi coupling constant	$G_F/(4\pi c)^3$	1.166 39(2)×10 ⁻⁵ GeV ⁻²	20
Avogadro number	N _A	6.022 136 7(36)×10 ²³ mol ⁻¹	0.59
molar gas constant, ideal gas at STP	R	8.314 510(70)×10 ⁷ erg mol ⁻¹ K ⁻¹	8.4
Boltzmann constant	k	1.380 658(12)×10 ⁻¹⁶ erg K ⁻¹ = 8.617 385(73)×10 ⁻⁵ eV K ⁻¹	8.5 8.4
molar volume, ideal gas at STP	N _A k(273.15 K)/(atmosphere)	22.414.10(19) cm ³ mol ⁻¹	8.4
Stefan-Boltzmann constant	$\sigma = \pi^2 k^4/60 h^3 c^2$	5.670 51(19)×10 ⁻⁵ erg s ⁻¹ cm ⁻² K ⁻⁴	34
first radiation constant	$2\pi hc^2$	3.741 774 9(22)×10 ⁻⁵ erg cm ² s ⁻¹	0.60
second radiation constant	hc/k	1.438 769(12) cm K	8.4





Halbwertsdicke für γ -Strahlen
Half-thickness for γ -rays
Couche de demi-absorption pour les rayons γ
Espesor de semirreducción para rayos γ

Standards für Elektronenenergien
Electron Energy Standards

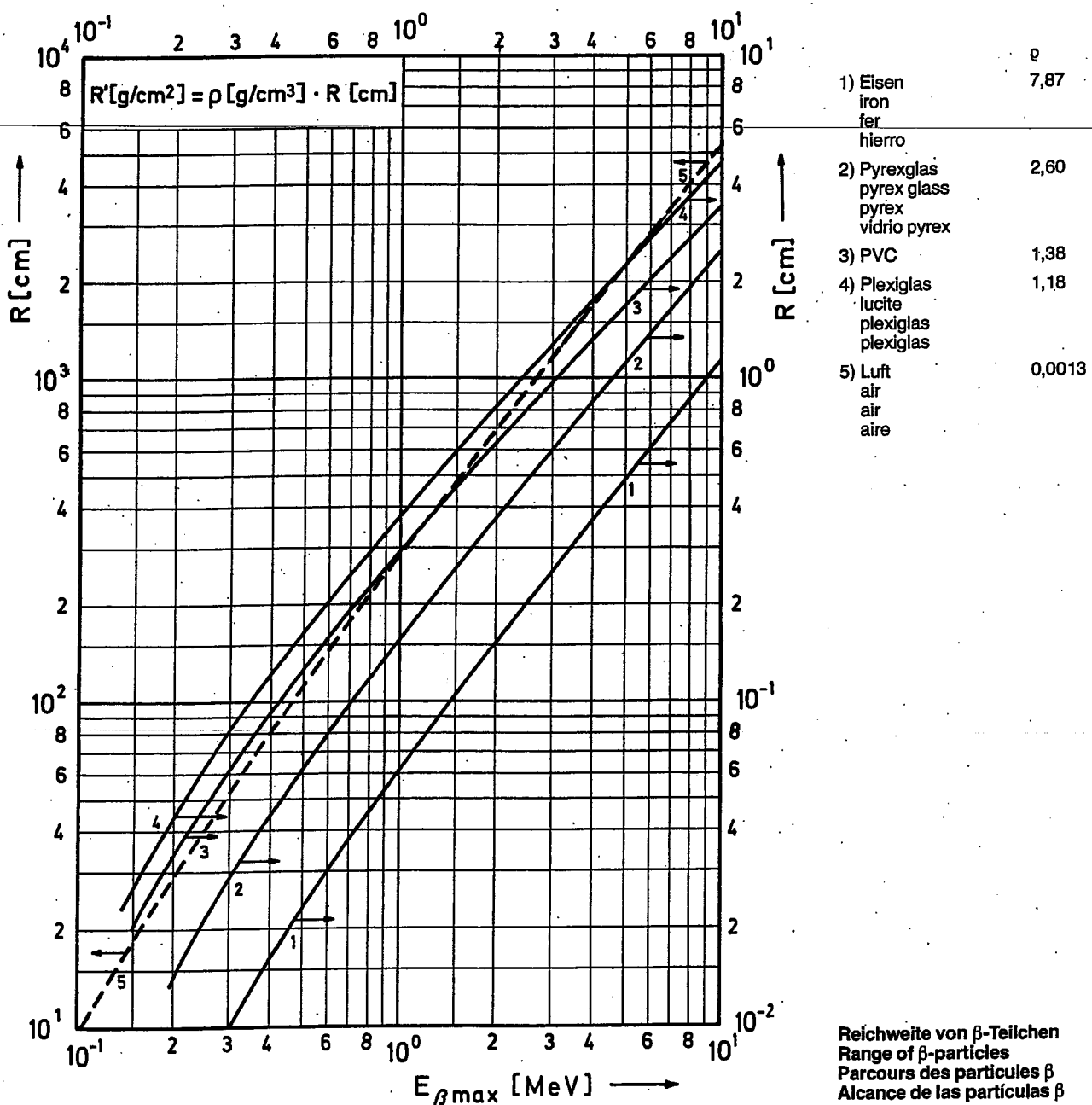
Ref.: D. C. Kocher, Report DOE/TIC-11026 (1981)

Valeurs de référence pour les énergies des électrons
Patrones para energías de electrones

Nuklid	$E_{\text{e}} \text{ [keV]}^*$	$I_{\text{abs}} [\%]^*$	Nuklid	$E_{\text{e}} \text{ [keV]}^*$	$I_{\text{abs}} [\%]^*$	Nuklid	$E_{\text{e}} \text{ [keV]}^*$	$I_{\text{abs}} [\%]^*$
^{199}Au	34,986 (7) 75,273 (7) 125,099 (7) 143,536 (7) 154,813 (7)	2,92 (14) 10,9 (5) 6,4 (3) 17,0 (8) 4,38 (19)	^{192}Ir	217,5634 (8) 230,0621 (8) 238,1131 (8) 302,6280 (5) 389,6767 (8)	1,924 (14) 1,790 (25) 4,47 (14) 1,95 (6) 1,02 (4)	$^{137}\text{Cs}/$ ^{137}Ba	624,208 (5) 655,660 (5)	7,64 (55) 1,38 (50)
^{203}Hg	193,659 (5) 263,842 (5) 275,485 (5)	16,9 (8) 4,35 (13) 1,06 (3)	^{207}Bi	481,665 (20) 553,809 (20) 975,615 (20) 1047,759 (20)	1,55 (5) 0,435 (13) 7,04 (23) 1,78 (6)	$^{212}\text{Bi}/$ $^{212}\text{Pb}/$ ^{208}Tl	24,510 (5) 36,153 (5) 148,099 (6) 222,238 (6)	
^{198}Au	328,7021 (9) 396,9651 (11)	2,87 (9) 1,02 (3)		1059,769 (20)	0,587 (8)		2526,66 (10)	

* Die Zahlen in Klammern sind die Standardabweichungen.
The standard deviations are listed in parentheses.

Les nombres entre parenthèses indiquent les écarts-types.
Los números entre paréntesis indican las desviaciones standard.



45	Rh $\frac{1064}{365}$ 102.90550 $1.12 \times 10^{-4\%}$	Rh96 $\frac{102}{365}$ EC	Rh97 $\frac{103}{370}$ EC	Rh98 $\frac{104}{371}$ EC	Rh99 $\frac{105}{373}$ EC	Rh100 $\frac{106}{374}$ EC	Rh101 $\frac{107}{375}$ EC	Rh102 $\frac{108}{376}$ EC	Rh103 $\frac{109}{377}$ EC
	Ru91 $\frac{95}{41}$ (92+)*	Ru96 0+	Ru97 5.52	Ru98 0+ *	Ru99 1.88	Ru100 1.27	Ru101 12.6	Ru102 17.0	Ru103 0+ *
	EC	EC	EC	EC	EC	EC	EC	EC	EC
	Tc91 $\frac{97}{41}$ (92+)*	Tc94 $\frac{99}{41}$ EC	Tc95 $\frac{100}{41}$ EC	Mo93 $\frac{97}{41}$ EC	Mo94 $\frac{98}{41}$ EC	Mo95 $\frac{99}{41}$ EC	Mo96 $\frac{100}{41}$ EC	Mo97 $\frac{101}{41}$ EC	Mo100 $\frac{102}{41}$ EC
	EC	EC	EC	EC	EC	EC	EC	EC	EC
	Mo90 $\frac{96}{41}$ 0+	Mo91 $\frac{97}{41}$ 0+	Mo92 $\frac{98}{41}$ 0+	Mo93 $\frac{99}{41}$ EC	Mo94 14.84	Mo95 9.35	Mo96 15.92	Mo97 16.68	Mo98 9.55
	EC	EC	EC	EC	EC	EC	EC	EC	EC
	Nb88 $\frac{115}{41}$ (8+)*	Nb89 $\frac{116}{41}$ (92+)*	Nb90 $\frac{117}{41}$ 0+	Nb91 $\frac{118}{41}$ 0+	Nb92 9.2+	Nb93 9.2+	Nb94 10.0	Nb95 11.1	Nb96 11.3
	EC	EC	EC	EC	EC	EC	EC	EC	EC
	Zr87 $\frac{161}{41}$ (92+)*	Zr88 $\frac{162}{41}$ 0+	Zr89 $\frac{163}{41}$ 0+	Zr90 TABLE	Zr91 0+ *	Zr92 0+ *	Zr94 0+ *	Zr95 0+ *	Zr96 $\frac{164}{41}$ 0+
	EC	EC	EC	EC	EC	EC	EC	EC	EC
	Y86 $\frac{147}{41}$ 0+	Y87 $\frac{148}{41}$ 0+	Y88 $\frac{149}{41}$ 0+	Y89 1.2	Y90 11.2	Y91 11.5	Y92 17.8	Y93 2.80	Y94 2.95
	EC	EC	EC	EC	EC	EC	EC	EC	EC
	Sr85 $\frac{87}{41}$ 0+	Sr86 0+	Sr87 0+	Sr88 100	Sr89 0+ *	Sr90 0+ *	Sr91 0+ *	Sr92 0+ *	Sr93 0+ *
	EC	EC	EC	EC	EC	EC	EC	EC	EC
	Rb85 5.2	Rb85 72.165	Rb87 4.75×10^{-3} 3.2	Rb88 9.86	Rb89 7.00	Rb90 82.58	Rb91 1.2	Rb92 0+ *	Rb93 0+ *
	EC	EC	EC	EC	EC	EC	EC	EC	EC
	Kr83 9.2+	Kr84 11.5	Kr86 0+	Kr86 0+	Kr86 0+	Kr86 0+	Kr86 0+	Kr86 0+	Kr86 0+
	EC	EC	EC	EC	EC	EC	EC	EC	EC

60 62 64

ALKUAINEIDEN JAKSOLLINEN JÄRJESTELMÄ

	IA	IIA	IIIA	IVA	VA	VIA	VIIA	VIII	IB	IIB	IIIB	IVB	VB	VIB	VIIB	O
--	----	-----	------	-----	----	-----	------	------	----	-----	------	-----	----	-----	------	---

①	¹ H 1,006											² He 4,003						
②	³ Li 6,941	⁴ Be 9,012							⁵ B 10,81	⁶ C 12,01	⁷ N 14,01	⁸ O 16,00	⁹ F 19,00	¹⁰ Ne 20,18				
③	¹¹ Na 22,99	¹² Mg 24,31							¹³ Al 26,98	¹⁴ Si 28,09	¹⁵ P 30,97	¹⁶ S 32,06	¹⁷ Cl 35,45	¹⁸ Ar 39,95				
④	¹⁹ K 39,10	²⁰ Ca 40,08	²¹ Sc 44,96	²² Ti 47,90	²³ V 50,94	²⁴ Cr 52,00	²⁵ Mn 54,94	²⁶ Fe 55,85	²⁷ Co 58,93	²⁸ Ni 58,70	²⁹ Cu 63,55	³⁰ Zn 65,38	³¹ Ga 69,72	³² Ge 72,59	³³ As 74,92	³⁴ Se 78,96	³⁵ Br 79,90	³⁶ Kr 83,80
⑤	³⁷ Rb 65,47	³⁸ Sr 87,62	³⁹ Y 88,91	⁴⁰ Zr 91,22	⁴¹ Nb 92,91	⁴² Mo 95,94	⁴³ Tc (97)	⁴⁴ Ru 101,1	⁴⁵ Rh 102,9	⁴⁶ Pd 106,4	⁴⁷ Ag 107,9	⁴⁸ Cd 112,4	⁴⁹ In 114,8	⁵⁰ Sn 118,7	⁵¹ Sb 121,8	⁵² Te 127,6	⁵³ I 128,9	⁵⁴ Xe 131,3
⑥	⁵⁵ Cs 132,9	⁵⁶ Ba 137,3	⁵⁷ La 138,9	⁷² Hf 178,5	⁷³ Ta 180,9	⁷⁴ W 183,9	⁷⁵ Re 186,2	⁷⁶ Os 190,2	⁷⁷ Ir 192,2	⁷⁸ Pt 195,1	⁷⁹ Au 197,0	⁸⁰ Hg 200,6	⁸¹ Tl 204,4	⁸² Pb 207,2	⁸³ Bi 209,0	⁸⁴ Po (209)	⁸⁵ At (210)	⁸⁶ Rn (222)
⑦	⁸⁷ Fr (223)	⁸⁸ Ra 226,0	⁸⁹ Ac (227)	¹⁰⁴ Ku (281)	¹⁰⁵ Ha (262)	¹⁰⁶ (263)	¹⁰⁷											

⁵⁸ Ce 140,1	⁵⁹ Pr 140,9	⁶⁰ Nd 144,2	⁶¹ Pm (145)	⁶² Sm 150,4	⁶³ Eu 152,0	⁶⁴ Gd 157,3	⁶⁵ Tb 158,9	⁶⁶ Dy 162,5	⁶⁷ Ho 164,9	⁶⁸ Er 167,3	⁶⁹ Tm 168,9	⁷⁰ Yb 173,0	⁷¹ Lu 175,0		
⁹⁰ Th 232,0	⁹¹ Pa 231,0	⁹² U 238,0	⁹³ Np 237,0	⁹⁴ Pu (244)	⁹⁵ Am (243)	⁹⁶ Cm (247)	⁹⁷ Bk (247)	⁹⁸ Cf (251)	⁹⁹ Es (254)	¹⁰⁰ Fm (257)	¹⁰¹ Md (258)	¹⁰² No (259)	¹⁰³ Lr (260)		